УДК 546.712:539.26+547.435.(423+421)

Синтез, кристаллическая структура и термические свойства трихлоро-[O-бис-(2-гидроксиэтил)аммоний]марганца(II), $\{Mn[(HOCH_2CH_2)_2NH_2]Cl_3\}_n$, и акватрихлороманганата(II) N-метил-N-(2-гидроксиэтил)аммония, [MeNH₂CH₂CH₂OH][Mn(H₂O)Cl₃]*

М. А. Захаров, Ю. В. Филатова, С. Р. Михеева, М. А. Быков, Н. В. Авраменко, В. А. Тафеенко

Московский государственный университет им. М. В. Ломоносова, Химический факультет, Российская Федерация, 119992 Москва, Ленинские горы, 1. E-mail: max@struct.chem.msu.ru

В работе представлен синтез двух новых соединений — трихлоро-[О-бис-(2-гидроксиэтил)аммоний]марганца(II), $\{Mn[(HOCH_2CH_2)_2NH_2]Cl_3\}_n$, (1), и акватрихлороманганата(II) N-метил-N-(2-гидроксиэтил)аммония, [CH₃NH₂CH₂CH₃OH]- $[Mn(H_2O)Cl_3]$ (2). Методом рентгеноструктурного анализа монокристаллов установлена кристаллическая структура полученных соединений. Обе структуры содержат подобные цепи из октаэдров (MnOCl₅), причем в структуре 1 атом марганца координирован ОН-группой катиона, а в структуре 2 — молекулой воды. Структура 1 содержит различные системы водородных связей вследствие разупорядочения ОН-групп катиона. Методом ДСК определены температуры и энтальпии плавления полученных соединений, которые составили 162 °C и 17.3 кДж • моль⁻¹ для соединения 1, 30 °С и 16.9 кДж • моль $^{-1}$ для соединения 2. Соединение 1 является координационным цепочечным полимером, а соединение 2 — ионной жидкостью с полиядерным анионом.

Ключевые слова: координационный полимер, металлсодержащие ионные жидкости, кристаллическая структура, термические свойства.

Соединения марганца, в частности галогеноманганаты, привлекают внимание исследователей благодаря проявляемым физическим свойствам, например, магнитным 1,2 и люминесцентным $^{3-5}$. Эти свойства связаны с кристаллической структурой соединений. Также галогеноманганаты часто используют в качестве анионов в ионных жидко $стях^{6,7}$.

Кристаллохимия анионов $MnCl_x^{n-}$ довольно разнообразна: в кристаллических структурах встречаются островные тетраэдры и димеры из октаэдра и квадратной пирамиды 8 , октаэдры 9 , цепочки октаэдров 10 , слои из октаэдров 11 . Влияние размеров катионов и наличия у них функциональных групп на структуру соединения, а также взаимосвязь структуры и свойств обсуждается в работе⁸.

Исследование кристаллического строения соединений диэтаноламмония с анионами FeCl₄и $CoCl_4^{2-}$ показало, что в структуре с тетрахлорферратанионом присутствует разупорядоченная

система водородных связей, а сами соединения являются протонными ионными жидкостями, так как имеют низкую температуру плавления (ниже 100 °C)¹².

В настоящей работе мы решили исследовать соединения хлороманганат-аниона с катионами диэтаноламмония и N-метил-N-(гидроксиэтил)аммония, различающихся между собой количеством ОН-групп, с целью изучения влияния ОН-групп на структуру и термические свойства соединений.

Экспериментальная часть

Использованные реагенты: $MnCl_2 \cdot 4$ H_2O («ч.»), HCl (36%, «x.ч.»), (HOCH₂CH₂)₂NH (99%, «Acros»), SOCl₂ («ч.»), CH₃NHCH₂CH₂OH (99%, «Alfa Aesar»).

Синтез безводного хлорида марганца(п). Смесь 7.8567 г (0.0397 моль) тетрагидрата хлорида марганца(іі), MnCl₂·4 H₂O, и 13.6 мл (0.1872 моль) SOCl₂ кипятили с обратным холодильником, оборудованным хлоркальциевой трубкой, в течение 2 ч. Получили 5 г безводного хлорида марганца(іі). Избыток SOCl₂ отогнали, а колбу с продуктом поместили в эксикатор над КОН(тв.). Получили мелкокристаллическое вещество светлорозового цвета. Выход составил 97%.

^{*} По материалам XXVIII Международной Чугаевской конференции по координационной химии (3-8 октября 2021 г., г. Туапсе).

Синтез протонных ионных жидкостей — хлорида дигидроксиэтиламмония (DEAHCI) и хлорида N-метил-N-(2-гидроксиэтил)аммония (MEAHCI). Хлорид дигидроксиэтиламмония синтезировали согласно методике, описанной в работе 12 . Хлорид N-метил-N-гидроксиэтиламмония синтезировали по аналогии с методикой для синтеза хлорида дигидроксиэтиламмония, только вместо дигидроксиэтиламина использовали 2 -метиламиноэтанол.

Синтез хлороманганата дигидроксиэтиламмония (1) и хлороманганата N-метил-N-(2-гидроксиэтил)аммония (2). В стеклянный бюкс с крышкой в условиях сухого бокса помещали 2.9988 г (2.38 ммоль) MnCl₂ и 6.7354 г (4.76 ммоль) хлорида дигидроксиэтиламмония или 5.0374 г (4.76 ммоль) хлорида N-метил-N-(2-гидроксиэтил)аммония. Затем смеси перемешивали на магнитной мешалке в течение четырех часов при температуре 80 °С до полной гомогенизации. Полученные розово-бежевая (1) и желтовато-бежевая (2) жидкости были помещены в эксикатор над P_4O_{10} . Светлорозовые кристаллы соединения 1 выпали через 3 суток. Светло-бежевые кристаллы соединения 2 выпали через две недели.

Трихлоро-[О-бис-(2-гидроксиэтил)аммоний]-марганец(п), {Мп[(HOCH₂CH₂)₂NH₂]Cl₃}_n (1). Выход 62%. Найдено (%): С, 18.6; H, 5.2; Cl, 41.3; Mn, 19.7; N, 6.8; O, 8.4. $C_4H_{12}O_2NMnCl_3$. Вычислено (%): С, 17.96; H, 4.52; Cl, 39.77; Mn, 20.54; N, 5.24; O, 11.96. ИК-спектр, v/cm^{-1} : 3476, 3124, 2899, 2824, 2528, 1624, 1505, 1453, 1361, 1331, 1281, 1246, 1186, 1089, 1063, 1024, 933, 890, 863, 763, 583, 432.

Акватрихлороманганат(II) *N*-метил-*N*-(2-гидроксиэтил)-аммония, [CH₃NH₂CH₂CH₂OH][Mn(H₂O)Cl₃] (2). Выход 65%. Найдено (%): C, 15.0; H, 5.5; Cl, 42.5; Mn, 20.3; N, 5.9; O, 10.8. $C_6H_{24}O_4N_2Mn_2Cl_6$. Вычислено (%): C, 14.11; H, 4.74; Cl, 41.64; Mn, 21.51; N, 5.48; O, 12.53. ИК-спектр, v/cm^{-1} : 3303, 2768, 2751, 1476, 1464, 1451, 1349, 1285, 1240, 1161, 1111, 1099, 1061, 990, 856, 801, 743.

Методы исследования

Дифференциальная сканирующая калориметрия. Образец соединения 1 был исследован на приборе «Netzsch DSC-204 F1». Образец соединения 2 был исследован на приборе «Mettler TA 3000». Образцы тестировали в стандартных алюминиевых ячейках ($V = 56 \, \mathrm{mm}^3, d = 6 \, \mathrm{mm}$), завальцованных крышкой с отверстием (отношение площади дна ячейки к площади отверстия составляло порядка 40) в потоке (40 мл • мин $^{-1}$) азота («ос.ч») при скорости нагревания 5 К • мин $^{-1}$.

ИК-спектроскопия. ИК-спектры были записаны на спектрометре «FT-IR Spectrometer Frontier» производства «PerkinElmer».

Рентгеноструктурный анализ. Рентгеноструктурный анализ проведен для образцов 1 и 2 с использованием монокристального рентгеновского дифрактометра «StadiVari Pilatus 100 К». Кристаллографические данные и детали дифракционных экспериментов приведены в таблице 1.

Кристаллические структуры расшифрованы прямыми методами (программа SHELX-97¹³) и уточнены полноматричным методом наименьших квадратов. Все атомы, кроме атомов водорода, были уточнены анизотропно

Таблица 1. Кристаллографические данные и условия экспериментов для образцов 1 и 2

Параметр	1	2	
Брутто-формула	C ₄ H ₁₂ O ₂ NMnCl ₃	$C_6H_{24}O_4N_2Mn_2Cl_6$	
M	267.44	255.43	
Сингония	Моноклинная	Моноклинная	
Пространственная группа	$P2_1/n \ (N_2 \ 14)$	$P2_{1}/c \ (No \ 14)$	
a/Å	7.3594(6)	18.628(2)	
$b/ m \AA$	10.5254(6)	7.3177(7)	
c/Å	12.2750(7)	14.8240(10)	
β/град	90.884(4)	109.939(8)	
$V/\text{Å}^3$	950.72(11)	1899.6(3)	
\overline{Z}	4	4	
$d_{\rm calc}/\Gamma \cdot {\rm cm}^{-3}$	1.868	1.786	
T/K	293(2)	293(2)	
$\lambda/Å$	0.71073 (Mo-Kα)	1.54186 (Cu-Kα)	
θ_{\min} — θ_{\max} /град	2.55—31.03	2.52-70.99	
μ/MM^{-1}	2.184	18.690	
T_{\min}/T_{\max}	0.247/0.269	0.208/0.326	
Количество рефлексов			
измеренных	15449	13586	
независимых	3006	3602	
$c I > 2\sigma(I)$	2212	1416	
$R_{\rm int}$	0.0476	0.0839	
Число уточняемых параметров	128	195	
R_1 no $I \ge 2\sigma(I)$	0.0286	0.0658	
wR_2 (по всем данным)	0.0542	0.2157	
GOOF no F^2	0.871	0.818	
Остаточная электронная плотность $(\rho_{min}/\rho_{max})/e \cdot \mathring{A}^{-3}$	-0.525/0.406	-0.922/1.134	

(программа SHELXL в пакете программ SHELX-97¹³). В соединениии 1 атомы водорода метиленовых групп, а в соединении 2 все атомы водорода, кроме молекул воды, были заданы геометрически и не уточнялись. Положения атомов водорода ОН- и NH_2^+ -групп в 1 и атомов водорода молекул воды в 2 были найдены из разностных синтезов Фурье и уточнены в изотропном приближении с наложенными ограничениями относительно длины связи О-Н и параметров тепловых колебаний. В структуре 1 было обнаружено разупорядочение катиона диэтаноламмония: одна из ОН-групп разупорядочена по двум позициям с заселенностью, близкой к 0.5, а у второй ОН-группы разупорядочен только атом водорода по двум позициям с заселенностью 0.58 и 0.42. Данные обрабатывали с помощью программы WinGX 14 . Изображения структур подготовлены с использованием программы Diamond 3.015. Кристаллические структуры депонированы в Кембриджском банке структурных данных (ССDС) под номерами 2129726 (1) и 2129724 (2).

Обсуждение полученных результатов

Трихлоро-[О-бис-(2-гидроксиэтил)аммоний]-марганец(II) (1) и акватрихлороманганат(II) N-метил-N-(2-гидроксиэтил)аммония (2) синтезировали по схеме 1.

Независимая часть структуры 1 состоит из катиона дигидроксиэтиламмония, атома марганца и трех атомов хлора, причем атом марганца находится в искаженно октаэдрическом окружении из пяти атомов хлора и одного атома кислорода, принадлежащего одной из ОН-групп катиона (рис. 1). Четыре атома хлора являются мостиковыми между атомами марганца, а один — Cl(3) — терминальным. Самое короткое расстояние от атома марганца до атома кислорода ОН-группы составляет 2.2559 Å, расстояние от атома марганца до терминального атома хлора — 2.4764(5) Å,

Схема 1

$$\begin{split} & \text{MnCl}_2 \cdot 4 \text{ H}_2\text{O} + 4 \text{ SOCl}_2 = \text{MnCl}_2 + 4 \text{ SO}_2 \uparrow + 8 \text{ HCl} \uparrow \\ & (\text{HOCH}_2\text{CH}_2)_2\text{NH} + \text{HCl} = (\text{HOCH}_2\text{CH}_2)_2\text{NH}_2\text{Cl} \\ & \text{MeNHCH}_2\text{CH}_2\text{OH} + \text{HCl} = \text{Me}(\text{HOCH}_2\text{CH}_2)\text{NH}_2\text{Cl} \\ & \text{MnCl}_2 + (\text{HOCH}_2\text{CH}_2)_2\text{NH}_2\text{Cl} \xrightarrow{80 \, ^{\circ}\text{C}} & \\ & \longrightarrow & \{\text{Mn}[(\text{HOCH}_2\text{CH}_2)_2\text{NH}_2]\text{Cl}_3\}_n \\ & \qquad \qquad 1 \\ & \text{MnCl}_2 + \text{Me}(\text{HOCH}_2\text{CH}_2)\text{NH}_2\text{Cl} + \text{H}_2\text{O} \xrightarrow{80 \, ^{\circ}\text{C}} & \\ & \longrightarrow & [\text{MeNH}_2\text{CH}_2\text{CH}_2\text{OH}][\text{Mn}(\text{H}_2\text{O})\text{Cl}_3] \\ & \qquad \qquad 2 \end{split}$$

расстояния от атома марганца до четырех мостиковых атомов хлора составляют 2.5140-2.5672 Å. Октаэдры [MnCl₅(O(H)R)] объединяются общими ребрами в цепочки вдоль направления оси a. Цепочки октаэдров с присоединенными к ним катионами диэтаноламмония связаны посредством водородных связей (см. далее) в трехмерный каркас (рис. 2). Такое строение свидетельствует о том, что данное соединение можно отнести к цепочечным координационным полимерам.

В структуре 1 присутствует разветвленная система водородных связей. Катион дигидроксиэтиламмония имеет две ОН-группы и NH_2 -группу, которые участвуют в образовании водородных связей в качестве донора атома водорода. Атомы кислорода ОН-групп, не координированных атомом марганца, а также атомы хлора участвуют в образовании водородных связей в качестве

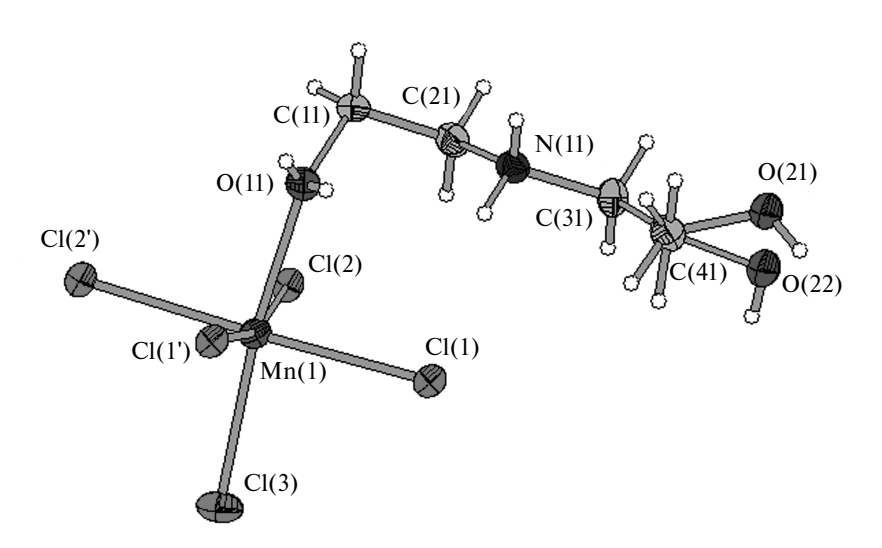


Рис. 1. Фрагмент структуры 1, тепловые эллипсоиды показаны с вероятностью 50%. Нумерация атомов водорода не дана.

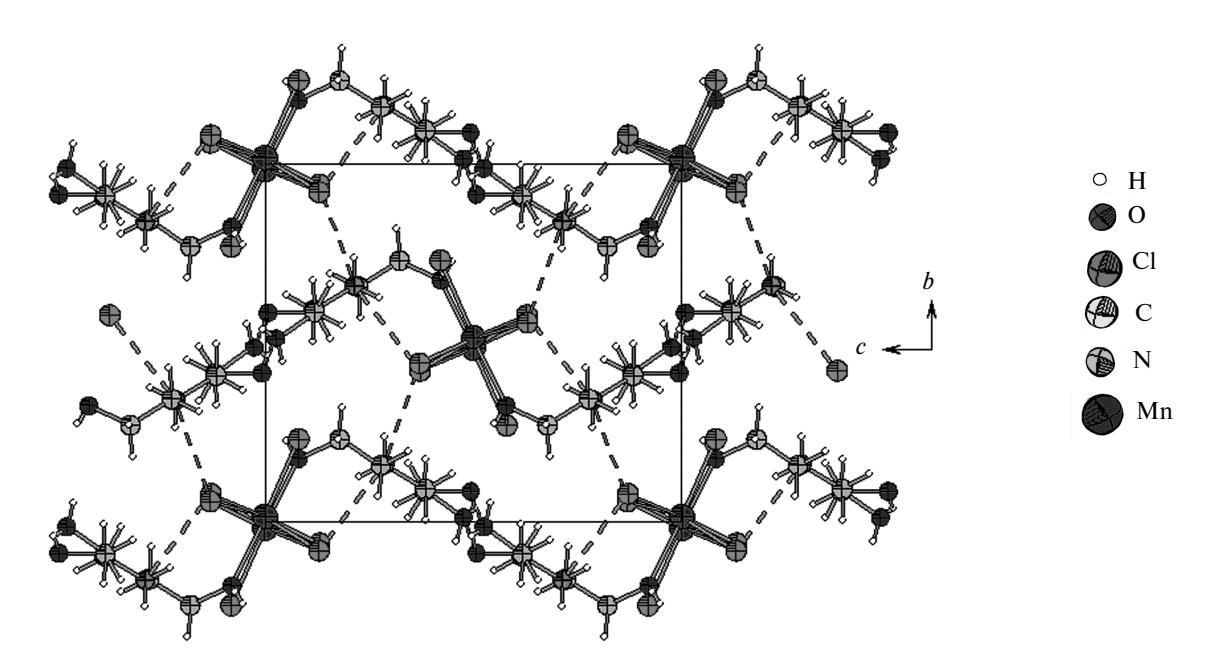


Рис. 2. Фрагмент структуры **1**. Цепочки $\{Mn(DEAH)Cl_3\}_n$ связаны между собой водородными связями (штриховые линии).

акцепторов атомов водорода, к тому же некоординированная ОН-группа разупорядочена по двум положениям. Все это приводит к интересной особенности данной структуры — к двум одинаково вероятным системам водородных связей (рис. 3), геометрические характеристики которых представлены в таблице 2. Группа O(21)—H(21) одного катиона (см. рис. 3, катион 1) участвует в качестве

донора атома водорода в образовании водородной связи (2.808(5) Å) с группой O(22)—H(22) второго катиона (см. рис. 3, катион 2), связанного с первым центром инверсии. Та же группа O(21)—H(21) участвует уже в качестве акцептора атома водорода в образовании водородной связи (2.732(5) Å) с группой O(11)—H(11) третьего катиона (см. рис. 3, катион 3), связанного с первым плоскостью скользя-

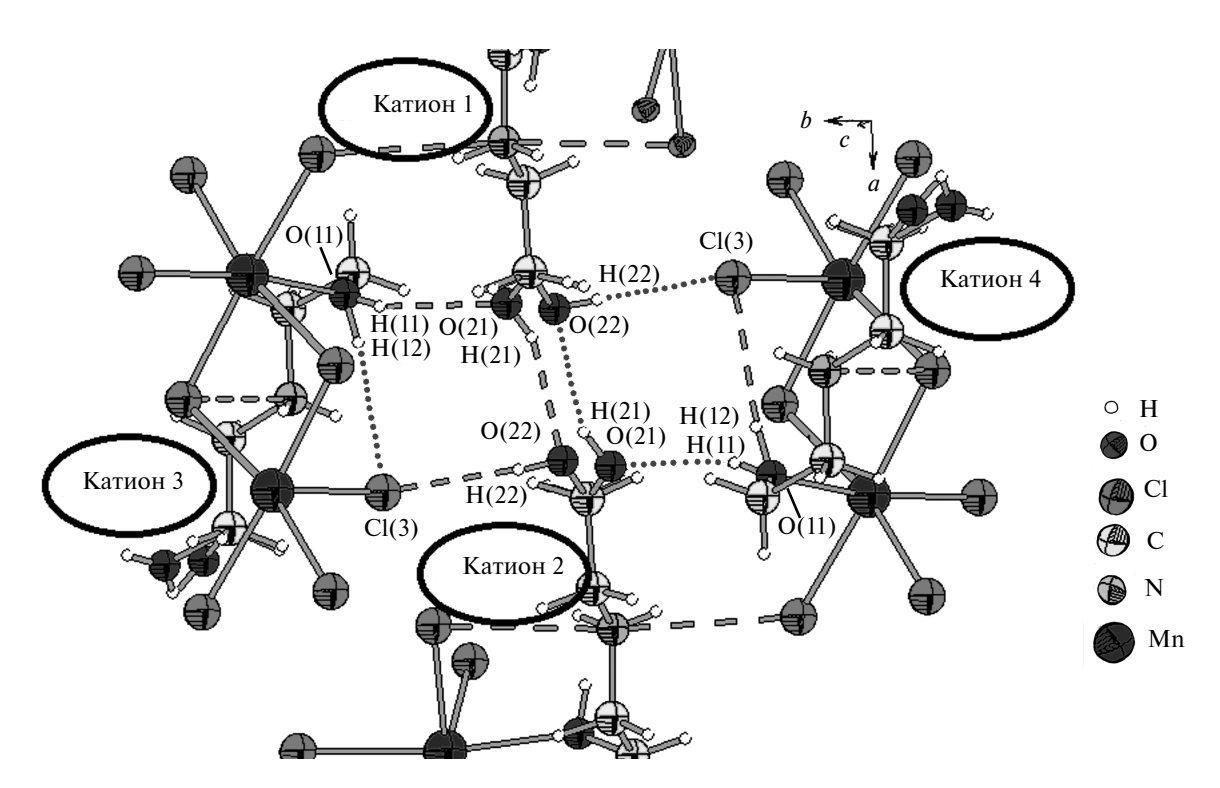


Рис. 3. Равновероятные системы H-связей в структуре **1**. Штриховыми линиями обозначен один вариант H-связей, пунктирными — второй.

•		_		-
Водородная связь	Расстояние/Å		Угол/град	
	<i>d</i> (D···A)	d(D-H)	d(H···A)	D—H—A
		Соединение 1		
$O(11)-H(11)\cdots O(21)^{a}$	2.731(3)	0.66(5)	2.12(5)	156(6)
$O(11)-H(12)\cdots Cl(3)^{b}$	3.370(16)	0.85(8)	2.53(9)	171(8)
$O(21)-H(21)\cdots O(22)^{c}$	2.810(5)	0.75(5)	2.13(5)	153(6)
$O(22)-H(22)\cdots Cl(3)^d$	3.077(3)	0.74(5)	2.33(5)	175(5)
$N(11)-H(1)\cdots Cl(2)^{e}$	3.1326(17)	0.84(2)	2.39(2)	147.0(19)
$N(11)-H(2)\cdots Cl(1)^{b}$	3.1862(17)	0.87(2)	2.48(2)	139.2(18)
$N(11)-H(2)\cdots Cl(3)^{b}$	3.2278(17)	0.87(2)	2.62(2)	128.1(17)
		Соединение 2		
$O(1)-H(1)\cdots O(3)^{f}$	2.7208(3)	0.82	2.40	105
$O(2)$ — $H(2)$ ··· $Cl(1)^g$	3.5722(4)	0.82	3.08	122
$O(3)-H(31)\cdots O(1)^{h}$	2.7208(3)	0.84	2.31	110
$O(3)-H(32)\cdots Cl(6)^{f}$	3.3430(4)	0.85	2.51	170
$O(4)-H(41)\cdots O(2)^{i}$	2.7401(3)	0.84	2.28	114
$O(4)-H(42)\cdots Cl(5)^{j}$	3.2609(4)	0.85	2.49	151
$N(1)$ — $H(1A)$ ···Cl $(2)^k$	3.1649(3)	0.89	2.46	136
N(1)— $H(1B)$ ···Cl(6)	3.2444(3)	0.89	2.40	158
$N(2)$ — $H(2A)$ ···Cl $(5)^{j}$	3.2494(3)	0.89	2.40	159
$N(2)-H(2B)\cdots Cl(1)^{l}$	3.2161(3)	0.89	2.49	140

Таблица 2. Геометрические характеристики водородных связей в структурах 1 и 2

 ${}^{a}1/2+x,\ 1/2-y,\ 1/2+z;\ {}^{b}:\ 1-x,\ 1-y,\ 1-z,\ {}^{c}-x,\ 1-y,\ -z;\ {}^{d}-1/2+x,\ 3/2-y,\ -1/2+z;$ ${}^{e}3/2-x,\ -1/2+y,\ 1/2-z;\ {}^{f}1-x,\ y-1/2,\ -z+\frac{1}{2};\ {}^{g}x-1,\ y,\ z;\ {}^{h}1-x,\ y+1/2,\ -z+\frac{1}{2};$ ${}^{i}x,\ y-1,\ z;\ {}^{i}-x,\ y+1/2,\ -z+\frac{1}{2};\ {}^{k}x,\ 1/2-y,\ 1/2+z;\ {}^{l}-x,\ 1-y,\ -z.$

щего отражения n. Группа O(22)—H(22) второго катиона участвует в качестве донора атома водорода в образовании водородной связи (3.074(2) Å) с атомом Cl(3) из той же цепочки, что и третий катион (см. рис. 3, катион 3). Получается цепочка водородных связей O(11)—H(11)···O(21)—H(21)···O(22)—H(22)···Cl(3) (см. рис. 3, цепочка H-связей обозначена штриховыми линиями). В то же время в катионе 4 (см. рис. 3) реализуется H-связь

O(11)—H(12)—CI(3). Второй вариант цепочки водородных связей точно такой же, но участвуют уже группы катиона 4, катиона 2 и катиона 1, а в катионе 3 остается связь O(11)—H(12)—CI(3) (на рисунке 3 обозначена пунктирными линиями). Группа NH_2 образует как донор атома водорода две водородные связи с атомами хлора (см. рис. 3 и табл. 2)

Элементарная ячейка структуры **2** содержит два независимых катиона MEAH⁺ и два независимых

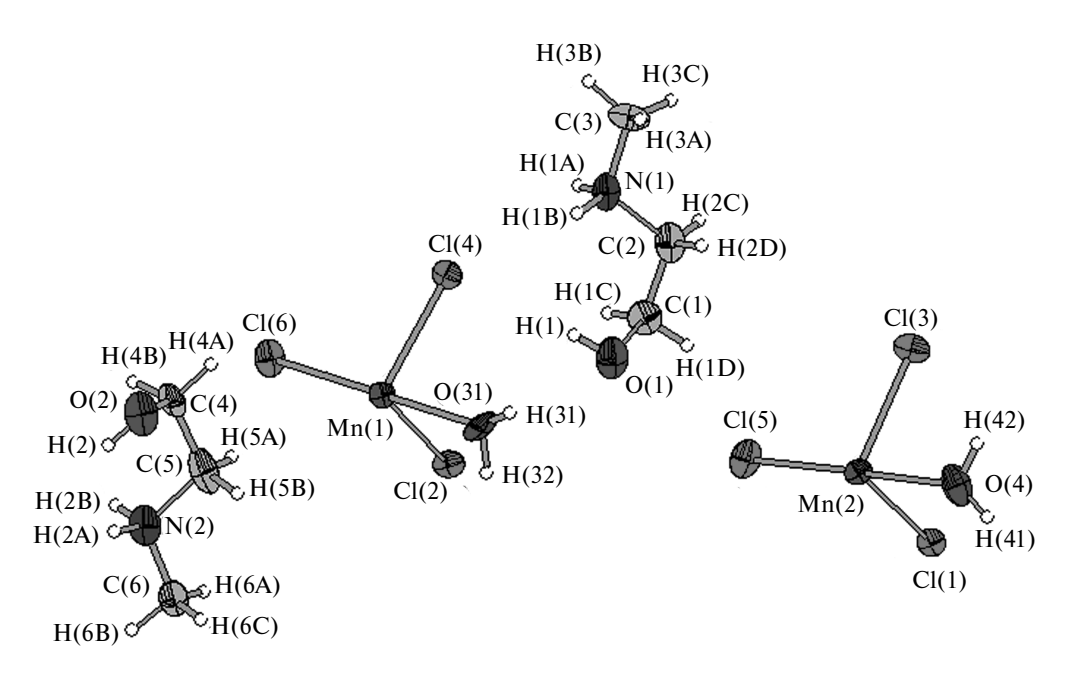


Рис. 4. Асимметричная часть ячейки структуры 2. Тепловые эллипсоиды приведены с вероятностью 50%.

атома марганца (рис. 4) в составе аниона $Mn(H_2O)Cl_3^-$. Оба атома марганца имеют искаженное октаэдрическое окружение, состоящее из одной молекулы воды и пяти атомов хлора, из которых четыре являются мостиковыми (Cl(1), Cl(2), Cl(3), Cl(4)). Расстояния между атомами марганца и лигандами в октаэдрах схожи между собой и близки к расстояниям в октаэдре структуры 1. Самые короткие расстояния от атомов марганца до атомов кислорода молекул воды составляют 2.275(7) Å (Mn(1)—O(3)) и 2.235(7) Å (Mn(2)-O(4)), расстояния Mn-Cl лежат в диапазоне 2.511—2.588 Å. В структуре **2**, в отличие от структуры 1, наибольшее удаление имеют терминальные атомы хлора Cl(5) и Cl(6), данный экспериментальный факт пока не нашел однозначного объяснения, и поэтому требуют-ся дальнейшие исследования. Октаэдры ($Mn(H_2O)Cl_5$), имея общие ребра, образуют цепи, направленные вдоль оси в. Соединение 2 также можно отнести к цепочечным координационным полимерам, но в отличие от соединения 1 цепочки из октаэдров (Mn(H2O)Cl5) имеют отрицательный заряд, а катионы связаны с этими цепочками водородными связями.

Гидроксильные группы катионов в качестве доноров атомов водорода образуют водородные связи с молекулой воды (O(1)—H(1)···O(3)) и атомом хлора (O(2)—H(2)···Cl(1)). Молекулы воды в качестве донора атома водорода образуют по две водородные связи каждая с OH-группой катиона (O(3)—H(31)···O(1) и O(4)—H(41)···O(2)) и атомом хлора (O(3)—H(32)···Cl(6) и O(4)—H(42)···Cl(5)). Группы NH_2 катионов участвуют в качестве доноров

атомов водорода в водородных связях с атомами хлора $(N(1)-H(1A)\cdots Cl(2), N(1)-H(1B)\cdots Cl(6), N(2)-H(2A)\cdots Cl(5)$ и $N(2)-H(2B)\cdots Cl(1))$ (табл. 2). Такая система водородных связей приводит к образованию слоев, состоящих из цепочек октаэдров и присоединенных катионов, расположенных параллельно плоскости bc (рис. 5). Между слоями существуют только ван-дерваальсовы взаимодействия.

Методом ДСК были определены температуры плавления и энтальпии плавления образцов 1 и 2: т.пл. 162 (1) и 30 °С (2), $\Delta H_{\Pi \Pi} = 17.3$ (1) и 16.9 кДж моль (2). Соединения значительно различаются по температуре плавления, но при этом имеют почти одинаковую энтальпию плавления. Разница в температуре плавления может быть объяснена тем, что соединение 1 является координационным цепочечным полимером с водородными связями между цепочками, а соединение 2 — ионной жидкостью с полиядерным анионом. На температуру плавления также влияет количество водородных связей, которое образует катион.

Таким образом, синтезированы два новых соединения — трихлоро-[*O*-бис-(2-гидроксиэтил)-аммоний]марганец(II) (1) и акватрихлороманганат(II) *N*-метил-*N*-(2-гидроксиэтил)аммония (2). Установлены кристаллические структуры полученных со-единений методом рентгеноструктурного анализа монокристалла. Структура 1 содержит две равновероятные системы водородных связей, обусловленные разупорядочением ОН-групп катиона. Обе структуры содержат похожие цепи из октаэдров (MnOCl₅), причем в структуре 1 атом

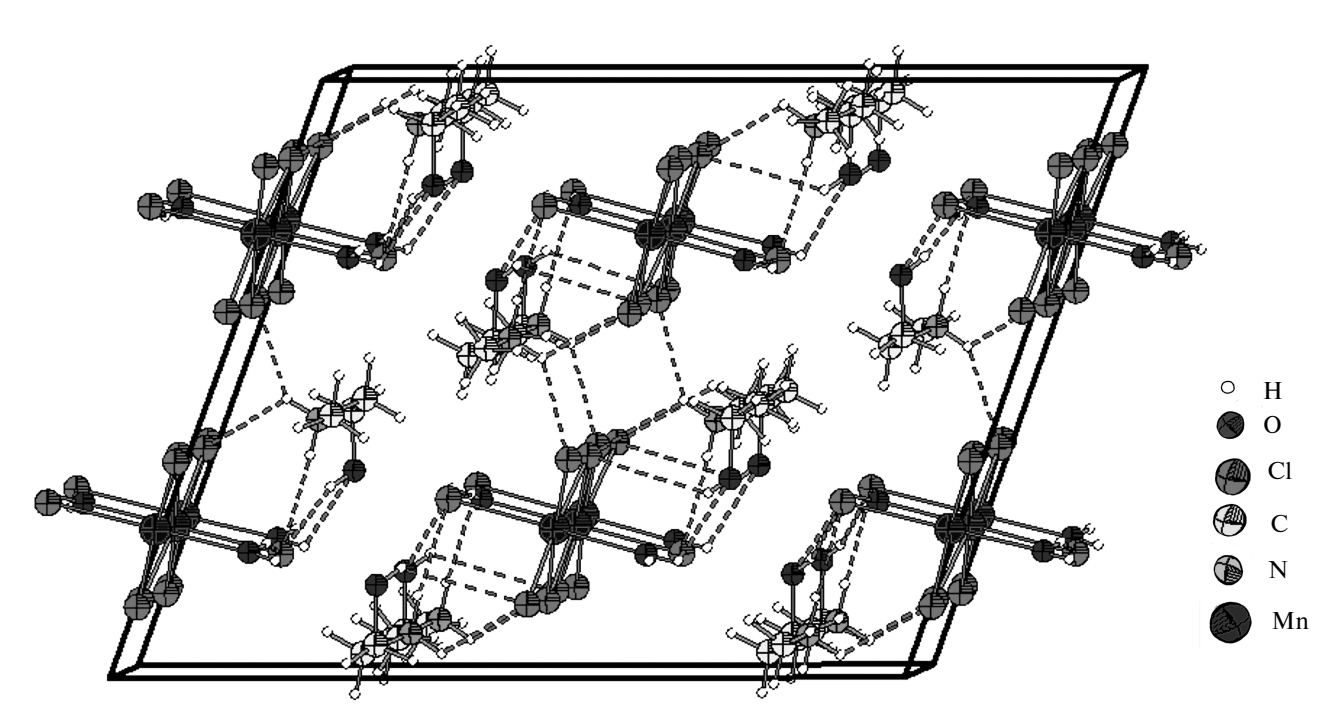


Рис. 5. Вид структуры **2** вдоль оси b. Цепочки $\{Mn(H_2O)Cl_3\}_n$ соединены с катионами МЕАН в слои, параллельные плоскости (0 1 1) водородными связями.

кислорода принадлежит ОН-группе катиона, а в структуре 2 — молекуле воды. В работе методом ДСК определены температуры плавления полученных соединений, которые составили 162 °С для соединения 1 и 30 °С — для соединения 2. Соединение 1 является координационным цепочечным полимером, а соединение 2 — ионной жидкостью с поли-ядерным анионом.

Работа выполнена при финансовой поддержке Российского фонда фундаментальных исследований (проект №19-08-00672а).

Настоящая статья не содержит описания выполненных авторами исследований с участием людей или использованием животных в качестве объектов.

Авторы заявляют об отсутствии конфликта интересов в финансовой или какой-либо иной сфере.

Список литературы

- S. Walha, H. Naili, S. Yahyaoui, B. F. Ali, M. M. Turnbull, T. Mhiri, T. Bataille, *Sol. State Sci.*, 2011, 13, 204; DOI: 10.1016/j.solidstatesciences.2010.11.015.
- L. J. De Jongh, A. R. Miedema, Adv. Phys., 2001, 50, 947;
 DOI: 10.1080/00018730110101412.
- 3. M.-E. Sun, Y. Li, X.-Y. Dong, S.-Q. Zang, *Chem. Sci.*, 2019, **10**, 3836; DOI: 10.1039/c8sc04711a.
- B. Su, G. Zhou, J. Huang, E. Song, A. Nag, Z. Xia, *Laser Photonics Rev.*, 2020, 2000334; DOI: 10.1002/lpor.202000334.
- B. Luo, F. Li, K. Xu, Y. Guo, Y. Liu, Z. Xia, J. Z. Zhang, J. Mater. Chem. C, 2019, 7, 2781; DOI: 10.1039/ C8TC05741A.

- J. Estager, J. D. Holbrey, M. Swadźba-Kwaśny, *Chem. Soc. Rev.*, 2014, 43, 847; DOI: 10.1039/C3CS60310E.
- 7. A. G. Zazybin, K. Rafikova, V. Yu, D. Zolotareva, B. M. Дембицкий, T. Sasaki, *Успехи химии*, 2017, **86**, 1254 [A. Zazybin, Kh. Rafikova, V. Yu, D. Zolotareva, V. M. Dembitsky, T. Sasaki, *Russ. Chem. Rev.*, 2017, **86**, 1254; DOI: 10.1070/RCR4743].
- C. Jiang, H. Fu, Y. Han, D. Li, H. Lin, B. Li, X. Meng, H. Peng, J. Chu, *Cryst. Res. Technol.*, 2019, **54**, 1800236; DOI: 10.1002/crat.201800236.
- H. Zhang, P. Chen, L. Fang, *Acta Cryst.*, 2006, E62, m658;
 DOI: 10.1107/S1600536806006751.
- X.-F. Sun, P.-F. Li, W.-Q. Liao, Z. Wang, J. Gao, H.-Y. Ye, Y. Zhang, *Inorg. Chem.*, 2017, 56, 12193; DOI: 10.1021/acs.inorgchem.7b01553.
- W. Depmeier, Acta Cryst., 1977, B33, 3713; DOI: 10.1107/ S0567740877011911.
- 12. М. А. Захаров, Ю. В. Филатова, М. А. Быков, Н. В. Авраменко, Л. А. Асланов, *Координац. химия*, 2020, **46**, 249 [M. A. Zakharov, Yu. V. Filatova, M. A. Bykov, N. V. Avramenko, L. A. Aslanov, *Russ. J. Coord. Chem.*, 2020, **46**, 268; DOI: 10.1134/S1070328420040077].
- 13. G. M. Sheldrick, *Acta Cryst.*, 2015, **C71**, 3; DOI: 10.1107/S2053229614024218.
- L. J. Farrugia, J. Appl. Cryst., 1999, 32, 837; DOI: 10.1107/ S0021889899006020.
- 15. Diamond: Crystal and Molecular Structure Visualization, Bonn, Crystal Impact, 2014.

Поступила в редакцию 17 января 2022; после доработки — 21 марта 2022; принята к публикации 21 апреля